

การเพิ่มความคงตัวของนาโนอิมัลชันน้ำมันหอมระเหยต่อการเกิดออสวอลต์โรเพนนิ่ง

สุวิมล อริยประกาย*

มหาวิทยาลัยอัสสัมชัญ งามคำแหง 24 หัวหมาก กรุงเทพฯ 10240

* Corresponding Author: suwimona@yahoo.com

ผู้ช่วยศาสตราจารย์ ภาควิชาเทคโนโลยีชีวภาพทางอาหาร คณะเทคโนโลยีชีวภาพ

ข้อมูลบทความ

บทคัดย่อ

ประวัติบทความ :

รับเพื่อพิจารณา : 13 พฤศจิกายน 2561

แก้ไข : 3 พฤศจิกายน 2562

ตอบรับ : 21 พฤศจิกายน 2562

คำสำคัญ :

น้ำมันหอมระเหย / นาโนอิมัลชัน /

ความคงตัวอิมัลชัน /

ออสวอลต์โรเพนนิ่ง

ในการประยุกต์ใช้นาโนอิมัลชันเพื่อกักเก็บน้ำมันหอมระเหยในผลิตภัณฑ์อาหาร เครื่องดื่ม พิธีกรรมเคลือบถนอมอาหาร และผลิตภัณฑ์ล้างผักผลไม้ พบข้อจำกัดเรื่องความไม่คงตัวของนาโนอิมัลชันน้ำมันหอมระเหยจากปรากฏการณ์ออสวอลต์โรเพนนิ่ง ทั้งนี้ น้ำมันจะเคลื่อนตัวโดยการแพร่จากอนุภาคน้ำมันขนาดเล็กไปสู่อนุภาคน้ำมันขนาดใหญ่ ทำให้อนุภาคน้ำมันเฉลี่ยของนาโนอิมัลชันเพิ่มขึ้นตามเวลา อัตราการเกิดออสวอลต์โรเพนนิ่งขึ้นอยู่กับชนิดของน้ำมันหอมระเหยและชนิดของสารอิมัลซิไฟเออร์ที่ใช้เป็นตัวทำอิมัลชัน บทความนี้เสนอวิธีในการป้องกันและลดอัตราการเกิดออสวอลต์โรเพนนิ่งในนาโนอิมัลชันน้ำมันหอมระเหยโดยการผสมน้ำมันไตรกลีเซอไรด์หรือเอสเทอร์กัมในน้ำมันหอมระเหย และการเลือกใช้อิมัลซิไฟเออร์ที่มีโครงสร้างเป็นชั้นหนา มีความแข็งแรง หรือมีการจัดเรียงโมเลกุลหนาแน่นบริเวณผิวรอบอนุภาคน้ำมัน เนื้อหาในบทความนี้จะเน้นประโยชน์ต่อการพัฒนาผลิตภัณฑ์นาโนอิมัลชันน้ำมันหอมระเหยให้มีความคงตัวได้นานยิ่งขึ้น

Enhancing Stability of Essential Oil Nanoemulsions against Ostwald Ripening

Suwimon Ariyaprakai*

Assumption University, Ramkhumhaeng 24, Hua Mak, Bangkok 10240

* Corresponding Author: suwimona@yahoo.com

Assistant Professor, Department of Food Biotechnology, Faculty of Biotechnology.

Article Info

Abstract

Article History:

Received: November 13, 2018

Revised: November 3, 2019

Accepted: November 21, 2019

Keywords:

Essential Oils /

Nanoemulsions /

Emulsion Stability /

Ostwald Ripening

Nanoemulsions containing essential oils can be used in foods, beverages, edible films or coatings as well as in fruit and vegetable washing solutions. However, applications of essential oil nanoemulsions are still limited due to instability of emulsions by Ostwald ripening phenomenon. Oil would transfer from small to larger droplets, causing average oil droplet sizes of emulsions to increase over time. Ostwald ripening rate depends on types of essential oils and of emulsifiers that are used as stabilizers. This review article suggests different methods to inhibit and reduce Ostwald ripening in essential oil nanoemulsions, including mixing triglyceride oils or ester gums with essential oils and coating oil droplets with thick emulsifiers, elastic membranes or densely packed interfacial layers. The knowledge provided can be used for development of essential oil nanoemulsion products with long-term stability

1. บทนำ

น้ำมันหอมระเหยสกัดได้จากส่วนต่างๆ ของพืช เช่น กลีบดอก ใบ ผล เปลือกผล เมล็ด เปลือกไม้ แก่นไม้ และราก น้ำมันหอมระเหยประกอบด้วยสารโมเลกุลเล็กกระหายจำนวนมาก อาจมากกว่า 100 ชนิดผสมกันในสัดส่วนต่างๆ สารเหล่านี้มากกว่า 80% เป็นสารประเภทเทอร์ปีนอยด์ ได้แก่ โมโนเทอร์ปีนที่มีคาร์บอน 10 หน่วย และเซสควิเทอร์ปีนที่มีคาร์บอน 15 หน่วย มีโครงสร้างเป็นเส้นตรงหรือวงแหวนจำนวน 1 ถึง 3 วงต่ออยู่ในรูปไฮโดรคาร์บอน แอลกอฮอล์ แอลดีไฮด์ คีโตน ฟีนอล อีเทอร์ หรือ เอสเทอร์ และมีสารอื่นๆ ที่ไม่ใช่เทอร์ปีนอยด์ผสมอยู่ด้วย [1]

น้ำมันหอมระเหยชนิดต่างๆ มีกลิ่นหอมและกลิ่นรสที่เฉพาะตัว ตั้งแต่อดีตกาลได้นำน้ำมันหอมระเหยมาใช้ประโยชน์ในการแต่งกลิ่นรสอาหาร สารในน้ำมันหอมระเหยบางชนิดมีสมบัติต้านอนุมูลอิสระ สารบางชนิดมีสมบัติเป็นสมุนไพรและมีประโยชน์ต่อผู้บริโภค สารบางชนิดมีฤทธิ์ต้านจุลชีพจำพวกแบคทีเรียและรา น้ำมันหอมระเหยจึงนำมาใช้ถนอมอาหาร ตัวอย่างน้ำมันหอมระเหยที่นิยมใช้ได้แก่ น้ำมันจากพืชตระกูลส้ม น้ำมันสะระแหน่ น้ำมันไทม์ น้ำมันตะไคร้หอม น้ำมันกานพลู น้ำมันอบเชย น้ำมันยูคาลิปตัส น้ำมันยี่ห่วย และน้ำมันโหระพา เป็นต้น

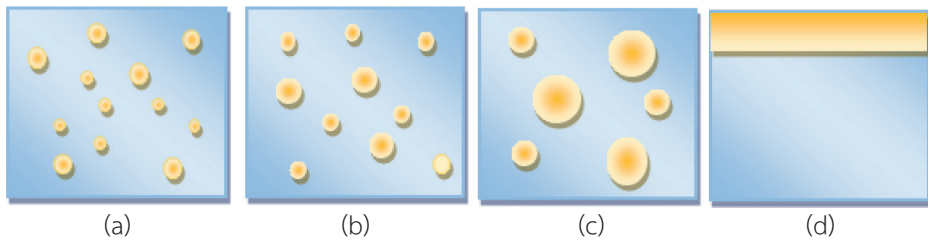
ปัจจุบันมีนวัตกรรมกักเก็บน้ำมันหอมระเหยหลากหลายวิธี วิธีหนึ่งคือการกักเก็บน้ำมันหอมระเหยในนาโนอิมัลชัน นาโนอิมัลชันประกอบด้วยอนุภาคน้ำมันหอมระเหยที่มีขนาดเล็กระดับนาโนเมตรกระจายในวัฏภาคน้ำ เมื่อนำนาโนอิมัลชันประยุกต์ใช้ในผลิตภัณฑ์อาหารและเครื่องดื่มหรือผลิตภัณฑ์ถนอมอาหารต่างๆ พบว่ามีข้อดีคือ นาโนอิมัลชันผสมรวมในผลิตภัณฑ์ที่มีน้ำเป็นส่วนผสมได้ดี นาโนอิมัลชันกระจายแขวนลอยในวัฏภาคน้ำดีกว่าอิมัลชันที่ประกอบด้วยอนุภาคน้ำมันขนาดใหญ่ มีการปลดปล่อยสารระเหยแบบควบคุม ลดอัตราการระเหยของสารระเหย ลดอันตรกิริยาระหว่างน้ำมันหอมระเหยกับองค์ประกอบในอาหารอื่นๆ ลดกลิ่นของน้ำมันหอมระเหยบางชนิดที่มีกลิ่นแรง

สำหรับนาโนอิมัลชันน้ำมันหอมระเหยที่มีขนาดอนุภาคน้ำมันเฉลี่ยระดับ 200 นาโนเมตร จะมีลักษณะเป็นสีขาวขุ่นเหมาะสำหรับผลิตภัณฑ์ที่ต้องการความขุ่น สำหรับนาโนอิมัล-

ชันน้ำมันหอมระเหยที่มีขนาดอนุภาคน้ำมันเฉลี่ยระดับต่ำกว่า 100 นาโนเมตร จะมีลักษณะโปร่งแสง เหมาะสำหรับผลิตภัณฑ์ที่ต้องการความใสโปร่งแสง [2] นาโนอิมัลชันน้ำมันหอมระเหยสามารถเตรียมได้ด้วยวิธีใช้พลังงานสูงโดยการนำส่วนผสมที่ประกอบด้วยน้ำมันหอมระเหย-น้ำ-และ-สารอิมัลซิไฟเออร์ผ่านกระบวนการโฮโมจีไนเซชันโดยใช้เครื่องปั่นผสมเป็นเนื้อเดียวกันด้วยความดันสูงหรือใช้เครื่องกำเนิดคลื่นเสียงความถี่สูง และนาโนอิมัลชันน้ำมันหอมระเหยสามารถเตรียมได้ด้วยวิธีใช้พลังงานต่ำ อาทิเช่น วิธีการเกิดอิมัลชันได้เองหรือวิธีเฟสผสมผ่านการนำส่วนผสมระหว่างน้ำมันหอมระเหยและสารอิมัลซิไฟเออร์เติมในน้ำ หรือนำน้ำเติมในส่วนผสมระหว่างน้ำมันหอมระเหยและสารอิมัลซิไฟเออร์ระหว่างการกวนผสม [3, 4]

การประยุกต์ใช้นาโนอิมัลชันน้ำมันหอมระเหยพบปัญหาเรื่องอิมัลชันไม่คงตัวทางกายภาพจากปรากฏการณ์ออสโมสโอสโรเฟนนิ่ง โดยพบน้ำมันลอยแยกชั้นเมื่อตั้งอิมัลชันทิ้งไว้ไม่นาน (รูปที่ 1) ในบทความนี้ได้อธิบายถึงกลไกและสาเหตุของการเกิดปรากฏการณ์ดังกล่าว โดยระบุถึงปัจจัยต่างๆ ที่มีผลต่ออัตราการเกิดออสโมสโอสโรเฟนนิ่ง และใช้ทฤษฎีและสมการที่เกี่ยวข้องในการอธิบาย นอกจากนี้ได้รวบรวมวิธีต่างๆ ที่ใช้ในการป้องกันและลดอัตราการเกิดออสโมสโอสโรเฟนนิ่งในนาโนอิมัลชันน้ำมันหอมระเหย โดยมุ่งเน้นให้สามารถนำวิธีที่เสนอแนะไปประยุกต์ใช้ได้จริงในการพัฒนาผลิตภัณฑ์นาโนอิมัลชันน้ำมันหอมระเหย

ในช่วงระยะเวลา 20 ปีที่ผ่านมาได้มีงานวิจัยต่างๆ ที่ศึกษาเกี่ยวกับปรากฏการณ์ออสโมสโอสโรเฟนนิ่งในอิมัลชัน โดยการศึกษาในช่วงแรกศึกษาโดยใช้น้ำมันประเภทอัลเคน อาทิเช่น น้ำมันเตกเคน น้ำมันโดเตคเคน ซึ่งเป็นน้ำมันไฮโดรคาร์บอนสังเคราะห์ [5-7] และได้มีการศึกษาการสร้างแบบจำลองทางคณิตศาสตร์ที่แสดงการเปลี่ยนแปลงขนาดอนุภาคน้ำมันระหว่างเกิดปรากฏการณ์ออสโมสโอสโรเฟนนิ่ง [8, 9] ต่อมาในช่วงหลายปีที่ผ่านมาได้มีการศึกษาปรากฏการณ์ออสโมสโอสโรเฟนนิ่งในนาโนอิมัลชันน้ำมันหอมระเหยนั้นเพิ่มขึ้น เนื่องจากในปัจจุบันมีการประยุกต์ใช้ผลิตภัณฑ์นาโนอิมัลชันน้ำมันหอมระเหยมากขึ้น โดยเฉพาะอย่างยิ่งการศึกษาร่วมกับการศึกษาประสิทธิภาพในการต้านจุลชีพของนาโนอิมัลชันน้ำมันหอมระเหย [10-14]



รูปที่ 1 Ostwald ripening in essential oil nanoemulsions. Nanoemulsions become coarsen over time by oil diffusing from small to larger oil droplets. (a) Initial nanoemulsions. (b) and (c) Nanoemulsions after increasing in storage time. (d) Oil phase separation at the final state.

2. ปรากฏการณ์ออสวอลด์ไรเฟนนิ่งในนาโนอิมัลชันน้ำมันหอมระเหย

ปรากฏการณ์ออสวอลด์ไรเฟนนิ่งเกิดขึ้นในอิมัลชันที่ประกอบด้วยอนุภาคน้ำมันที่มีขนาดต่างๆ อนุภาคน้ำมันที่มีขนาดเล็กจะมีผิวโค้งและความดันลาปลาซสูงกว่าอนุภาคน้ำมันที่มีขนาดใหญ่ จากผลของเคลวิน (Kelvin effect) ทำให้บริเวณใกล้อนุภาคน้ำมันขนาดเล็กมีค่าการละลายน้ำมันที่สูงกว่าบริเวณใกล้อนุภาคน้ำมันขนาดใหญ่ น้ำมันจึงเคลื่อนตัวโดยการแพร่ (diffusion) ผ่านวฏภาคน้ำจากบริเวณใกล้อนุภาคน้ำมันขนาดเล็กไปรวมในอนุภาคน้ำมันที่มีขนาดใหญ่กว่า เมื่อเวลาเพิ่มขึ้นอนุภาคน้ำมันขนาดเล็กจะหมดไปและอนุภาคน้ำมันขนาดใหญ่มีขนาดเพิ่มขึ้น ขนาดอนุภาคน้ำมันเฉลี่ยของอิมัลชันจึงเพิ่มขึ้นตามเวลา [15, 16] การที่อนุภาคน้ำมันที่มีขนาดใหญ่จะทำให้เกิดการแยกชั้นครีมเร็ว อนุภาคน้ำมันมีโอกาสรวมตัวกันเป็นอนุภาคน้ำมันที่มีขนาดใหญ่ขึ้นและน้ำมันแยกชั้นในท้ายที่สุด

3. ปัจจัยที่มีผลต่ออัตราการเกิดออสวอลด์ไรเฟนนิ่งในนาโนอิมัลชันน้ำมันหอมระเหย

จากทฤษฎีของ Lifshitz-Slyozov-Wagner (LSW theory) [17, 18] อัตราการเกิดออสวอลด์ไรเฟนนิ่งในนาโนอิมัลชัน (ω) คำนวณได้จากความชันของเส้นกราฟระหว่างขนาดอนุภาคเฉลี่ยยกกำลังสามกับเวลา ดังแสดงในสมการที่ [1]

$$\omega = \frac{dr^{-3}}{dt} = \frac{8}{9} \left(\frac{\gamma v}{RT} \right) C_{\infty} D \quad [1]$$

โดย r = รัศมีของขนาดอนุภาคเฉลี่ยที่คำนวณจากจำนวนอนุภาค, t = เวลา, C_{∞} = ค่าการละลายของน้ำมันในวฏภาคน้ำ, v = ปริมาตรโมลาร์ของน้ำมัน, D = ค่าสัมประสิทธิ์การแพร่ของน้ำมันในวฏภาคน้ำ, γ = ค่าแรงตึงระหว่างผิว, R = ค่าคงที่ของก๊าซ, และ T = อุณหภูมิสัมบูรณ์ โดยทฤษฎีดังกล่าวมีเงื่อนไขว่านาโนอิมัลชันมีความเข้มข้นอนุภาคน้ำมันเจือจางและอัตราการเคลื่อนที่ของน้ำมันกำหนดโดยการแพร่ของโมเลกุลน้ำมัน (molecular diffusion controlling) [19]

อัตราการเกิดออสวอลด์ไรเฟนนิ่งในนาโนอิมัลชันขึ้นอยู่กับชนิดของน้ำมันเป็นหลัก น้ำมันหอมระเหยแต่ละชนิดประกอบด้วยสารองค์ประกอบต่างๆ ที่มีขนาดโมเลกุลและความมีขั้วแตกต่างกัน ทำให้มีความสามารถในการละลายในวฏภาคน้ำได้ไม่เท่ากัน จากสมการที่ 1 จะเห็นได้ว่า นาโนอิมัลชันที่ประกอบด้วยน้ำมันชนิดที่มีความสามารถในการละลายในวฏภาคน้ำได้ดี หรือมีค่าการละลายน้ำมันสูงจะมีอัตราการเกิดออสวอลด์ไรเฟนนิ่งเร็วกว่านาโนอิมัลชันที่ประกอบด้วยน้ำมันชนิดที่มีความสามารถในการละลายในวฏภาคน้ำได้ต่ำ [20]

อัตราการเกิดออสวอลด์ไรเฟนนิ่งในนาโนอิมัลชันขึ้นอยู่กับชนิดของอิมัลซิไฟเออร์ อิมัลซิไฟเออร์แต่ละชนิดมีสมบัติระหว่างผิวที่แตกต่างกัน ทั้งความสามารถในการยึดเกาะระหว่างผิวและความสามารถในการลดแรงตึงระหว่างผิว จากสมการที่ 1 จะเห็นได้ว่า นาโนอิมัลชันจะมีอัตราการเกิดออสวอลด์ไรเฟนนิ่งช้าในกรณีที่ค่าลดแรงตึงระหว่างผิวต่ำ อิมัลซิไฟเออร์แต่ละชนิดมีโครงสร้างโมเลกุลและขนาดโมเลกุลที่แตกต่างกัน โครงสร้างชั้นอิมัลซิไฟเออร์ที่มีความหนาและความแข็งแรงจะทำให้มีความต้านทานต่อการเคลื่อนที่ด้วยการแพร่ของน้ำมันและมีผลลด

อัตราการเคลื่อนที่ของน้ำมันระหว่างอนุภาคน้ำมัน [8, 9] ลักษณะโครงสร้างของอิมัลชันไฟเออร์จึงมีผลต่ออัตราการเกิดออสวอลด์โรเพนนิ่งในนาโนอิมัลชันน้ำมันหอมระเหย

ความเข้มข้นของอิมัลชันไฟเออร์มีผลต่ออัตราการเกิดออสวอลด์โรเพนนิ่งได้เช่นเดียวกัน ในกรณีที่ใช้อิมัลชันไฟเออร์ขนาดโมเลกุลเล็กในปริมาณมากและรวมตัวเป็นไมเซลล์ในวัฏภาคน้ำไมเซลล์อาจส่งผลเร่งอัตราการเกิดออสวอลด์โรเพนนิ่งในอิมัลชันไมเซลล์ของสารลดแรงตึงผิวชนิดต่างๆ มีผลต่ออัตราการออสวอลด์โรเพนนิ่งแตกต่างกัน [21-27] อาทิเช่น Henry และคณะ [26] พบว่า ทวินไมเซลล์มีผลเร่งอัตราการเกิดออสวอลด์โรเพนนิ่งในอิมัลชันน้ำมันเดเคนมากกว่าซูโครสเอสเทอร์ไมเซลล์ และบริจไมเซลล์ Ariyaprakai และ Dungan [21] พบว่า ทวินไมเซลล์ โซเดียมโดดีซิลซัลเฟตไมเซลล์ เอทิลีนออกไซด์โดดีซิลอีเทอร์ไมเซลล์ และ บริจไมเซลล์มีผลต่ออัตราการเกิดออสวอลด์โรเพนนิ่งในอิมัลชันน้ำมันเดเคนแตกต่างกัน

อย่างไรก็ดีเนื่องจากน้ำมันหอมระเหยเป็นน้ำมันธรรมชาติที่ประกอบด้วยสารองค์ประกอบหลากหลายชนิดที่ละลายในวัฏภาคน้ำได้ การเกิดออสวอลด์โรเพนนิ่งในนาโนอิมัลชันน้ำมันหอมระเหยจึงซับซ้อนกว่าในนาโนอิมัลชันที่ประกอบด้วยน้ำมันประเภทอัลเคนที่เป็นน้ำมันไฮโดรคาร์บอนสังเคราะห์ชนิดเดียว และการคำนวณอัตราการเกิดออสวอลด์โรเพนนิ่งในนาโนอิมัลชันน้ำมันหอมระเหยจึงทำได้ยากกว่า [6, 26]

4. วิธีการป้องกันหรือลดอัตราการเกิดออสวอลด์โรเพนนิ่งในนาโนอิมัลชันน้ำมันหอมระเหย

4.1 วิธีผสมน้ำมันไตรกลีเซอไรด์กับน้ำมันหอมระเหย

การนำน้ำมันไตรกลีเซอไรด์ที่ไม่ละลายน้ำได้แก่ น้ำมันไตรกลีเซอไรด์สายโซ่ขนาดยาว (อาทิเช่น น้ำมันข้าวโพด น้ำมันถั่วเหลือง น้ำมันถั่วลิสง) หรือน้ำมันไตรกลีเซอไรด์สายโซ่ขนาดกลาง (อาทิเช่น น้ำมันที่ประกอบด้วยกรดไขมันที่มีคาร์บอน 8 หน่วย และ 10 หน่วย) ผสมกับน้ำมันหอมระเหยสามารถป้องกันการเกิดออสวอลด์โรเพนนิ่งในนาโนอิมัลชันน้ำมันหอมระเหยได้ เมื่อนำน้ำมันไตรกลีเซอไรด์ผสมกับน้ำมันหอมระเหย น้ำมันทั้งสองชนิดจะผสมอยู่ในอนุภาคขนาดต่างๆ เท่าๆ กัน ในกรณีที่น้ำมันหอมระเหยเคลื่อนที่จากอนุภาคน้ำมันขนาดเล็กไปรวมในอนุภาคน้ำมันขนาดใหญ่จะทำให้ น้ำมันไตรกลีเซอ-

ไรด์ซึ่งไม่ละลายน้ำเหลืออยู่แต่ในอนุภาคน้ำมันขนาดเล็ก ส่งผลให้เกิดไม่สมดุลส่วนประกอบ (compositional imbalance) ซึ่งตามหลักเอนโทรปีการผสม (entropy of mixing effect) ปรากฏการณ์ออสวอลด์โรเพนนิ่งจะไม่เกิดขึ้นหรืออาจเกิดขึ้นได้เพียงระดับหนึ่งเท่านั้นขึ้นอยู่กับสัดส่วนผสมระหว่างน้ำมันไตรกลีเซอไรด์และน้ำมันหอมระเหย [20, 28] ตัวอย่างเช่น Ziani และคณะ [13] ผสมน้ำมันข้าวโพดกับน้ำมันไหม้ในสัดส่วนมากกว่าหรือเท่ากับ 75 : 25 ในการป้องกันการเกิดออสวอลด์โรเพนนิ่ง และ Chang และคณะ [12] ผสมน้ำมันข้าวโพดกับน้ำมันไหม้ในสัดส่วนมากกว่าหรือเท่ากับ 60 : 40 และผสมน้ำมันไตรกลีเซอไรด์สายกลางกับน้ำมันไหม้ในสัดส่วนมากกว่าหรือเท่ากับ 50 : 50

ชนิดของอิมัลชันไฟเออร์ที่ใช้เตรียมอิมัลชันมีผลต่อสัดส่วนผสมระหว่างน้ำมันไตรกลีเซอไรด์กับน้ำมันหอมระเหยเช่นกัน Li และคณะ [11] ผสมน้ำมันถั่วกับน้ำมันยูจีนอลในสัดส่วนมากกว่าหรือเท่ากับ 20 : 80 และมากกว่าหรือเท่ากับ 10 : 90 ในการเตรียมนาโนอิมัลชันที่ใช้โซเดียมโดดีซิลซัลเฟต และทวิน 80 เป็นอิมัลชันไฟเออร์ ตามลำดับ ค่าตัวสัดส่วนผสมระหว่างน้ำมันไตรกลีเซอไรด์กับน้ำมันหอมระเหยที่ใช้แตกต่างกันขึ้นอยู่กับสมบัติการลดแรงตึงผิวของอิมัลชันไฟเออร์ Chang และคณะ [10] ผสมน้ำมันข้าวโพดกับน้ำมันไหม้ในสัดส่วนมากกว่าหรือเท่ากับ 60 : 40 และมากกว่าหรือเท่ากับ 30 : 70 ในการเตรียมนาโนอิมัลชันที่ใช้ทวิน 80 และทวิน 80 ผสมกับลอริกแอลจินต เป็นอิมัลชันไฟเออร์ ตามลำดับ Han และคณะ [27] ผสมน้ำมันข้าวโพดกับน้ำมันส้มในสัดส่วนตั้งแต่ 5 : 95 ถึง 20 : 80 ในการเตรียมอิมัลชันที่ใช้พอลิออกซีเอทิลีนอัลคิลอีเทอร์ชนิดต่างๆ เป็นอิมัลชันไฟเออร์ สัดส่วนผสมระหว่างน้ำมันข้าวโพดและน้ำมันส้มที่เหมาะสมขึ้นอยู่กับชนิดและความเข้มข้นของพอลิออกซีเอทิลีนอัลคิลอีเทอร์ที่ใช้ ทั้งนี้คาดว่าขึ้นอยู่กับความหนาและความหนาแน่นของอิมัลชันไฟเออร์ที่เรียงตัวบริเวณรอบอนุภาคน้ำมัน และขนาดส่วนหัวและส่วนหางของสารอิมัลชันไฟเออร์

นอกจากนี้บทความนี้มีข้อเสนอแนะเพิ่มเติมเพื่อการประยุกต์ใช้ดังนี้ เนื่องจากน้ำมันไตรกลีเซอไรด์ชนิดต่างๆ ล้วนมีความสามารถในการละลายในวัฏภาคน้ำต่ำ จึงสามารถเลือกใช้ชนิดน้ำมันไตรกลีเซอไรด์ตามความเหมาะสมกับผลิตภัณฑ์ และมีข้อเสนอแนะว่าก่อนการประยุกต์ใช้อาจทำการทดสอบแปร

สัดส่วนผสมระหว่างน้ำมันไตรกลีเซอไรด์และน้ำมันหอมระเหย เพื่อหาสัดส่วนที่เหมาะสมก่อน โดยดัชนีที่ใช้ในการตรวจสอบคือค่าขนาดอนุภาคน้ำมันเฉลี่ย เมื่อใช้สัดส่วนผสมระหว่างน้ำมันไตรกลีเซอไรด์กับน้ำมันหอมระเหยที่พอเหมาะขนาดอนุภาคน้ำมันเฉลี่ยจะคงที่ตลอดระยะเวลาการเก็บ

4.2 วิธีผสมเอสเทอร์กับน้ำมันหอมระเหย

เอสเทอร์กัมเป็นสารที่เติมเพื่อเพิ่มน้ำหนักให้กับน้ำมันหอมระเหยเพื่อป้องกันการแยกชั้นคริมในผลิตภัณฑ์อิมัลชันน้ำมันหอมระเหย Lim และคณะ [29] ผสมเอสเทอร์กัมและน้ำมันส้มในสัดส่วนมากกว่าหรือเท่ากับ 9:91 โดยพบว่านอกจากเอสเทอร์กัมจะทำหน้าที่เป็นสารเพิ่มน้ำหนักแล้วยังทำหน้าที่เป็นสารป้องกันการเกิดออสวอลต์โรเฟนนิ่งในอิมัลชันน้ำมันส้มที่ใช้สารขจัดด่างเป็นอิมัลซิไฟเออร์ได้อีกด้วย การผสมเอสเทอร์กัมซึ่งเป็นสารพอลิเมอร์ในน้ำมันหอมระเหยจะทำให้เกิดผลตามหลักเอนโทรปีการผสมเช่นเดียวกับการผสมน้ำมันไตรกลีเซอไรด์ในน้ำมันหอมระเหย เนื่องจากเอสเทอร์กัมเป็นสารที่ไม่ละลายน้ำ

4.3 วิธีเลือกใช้อิมัลซิไฟเออร์ชนิดที่มีโครงสร้างโมเลกุลขนาดใหญ่

การใช้อิมัลซิไฟเออร์ชนิดโครงสร้างโมเลกุลขนาดใหญ่เป็นชั้นหอรอบอนุภาคน้ำมันสามารถลดอัตราการออสวอลต์โรเฟนนิ่งในนาโนอิมัลชันน้ำมันหอมระเหย Wu และคณะ [14] ใช้อิมัลซิไฟเออร์ประเภทพอลิแคโรทีนสกัดจากถั่วเหลืองที่ละลายน้ำได้ในสัดส่วนผสมระหว่างอิมัลซิไฟเออร์และน้ำมันหอมระเหยมากกว่าหรือเท่ากับ 5:1 พบว่าป้องกันการเกิดออสวอลต์โรเฟนนิ่งในอิมัลชันน้ำมันใหม่ตลอดระยะเวลาการเก็บ 60 วัน อิมัลซิไฟเออร์ดังกล่าวมีโครงสร้างคล้ายเพกทินต่อกับเพปไทด์และมีลักษณะเป็นชั้นหนา

4.4 วิธีเลือกใช้อิมัลซิไฟเออร์ชนิดที่มีโครงสร้างส่วนหัวที่ขบ้น้ำขนาดเล็ก

การใช้อิมัลซิไฟเออร์ประเภทที่มีส่วนหัวที่ขบ้น้ำขนาดเล็กจะทำให้อิมัลซิไฟเออร์มีการจัดเรียงตัวโมเลกุลหนาแน่นบริเวณรอบอนุภาคน้ำมันและมีจำนวนโมเลกุลอิมัลซิไฟเออร์ต่อพื้นที่ผิวสูง Han และคณะ [27] ศึกษาการเกิดออสวอลต์-

โรเฟนนิ่งในอิมัลชันน้ำมันส้มโดยใช้อิมัลซิไฟเออร์ที่มีส่วนหัวที่ขบ้น้ำประเภทพอลิออกซีเอทิลีนขนาดสายยาวต่างๆ กัน เมื่อใช้พอลิออกซีเอทิลีน-10-สเตียริลอีเทอร์ และพอลิออกซีเอทิลีน-20-สเตียริลอีเทอร์ พบว่าเกิดออสวอลต์โรเฟนนิ่งในอัตราที่ช้ากว่าเมื่อใช้พอลิออกซีเอทิลีน-100-สเตียริลอีเทอร์ เนื่องจากพอลิออกซีเอทิลีน-10-สเตียริลอีเทอร์ และพอลิออกซีเอทิลีน-20-สเตียริลอีเทอร์ ประกอบด้วยส่วนหัวที่ขบ้น้ำกลุ่มพอลิออกซีเอทิลีนจำนวน 10 หน่วย และ 20 หน่วยตามลำดับ ซึ่งมีขนาดเล็กกว่าพอลิออกซีเอทิลีน-100-สเตียริลอีเทอร์ที่ประกอบด้วยส่วนหัวที่ขบ้น้ำจำนวน 100 หน่วย

4.5 วิธีเลือกใช้อิมัลซิไฟเออร์ชนิดผสม

การใช้อิมัลซิไฟเออร์ผสมมากกว่าหนึ่งชนิดสามารถตัดแปรความสามารถในการยึดเกาะที่ผิว ค่าแรงตึงระหว่างผิว ความหนาแน่นโมเลกุลระหว่างผิว และความหนาและความแข็งแรงของชั้นอิมัลซิไฟเออร์ ทั้งนี้สมบัติของอิมัลซิไฟเออร์ผสมขึ้นอยู่กับชนิดของอิมัลซิไฟเออร์ที่นำมาผสม อิมัลซิไฟเออร์ที่ใช้ผสมอาจเป็นอิมัลซิไฟเออร์ที่มีประจุไฟฟ้าหรือไม่ก็ได้ นอกจากนี้ยังสามารถใช้อิมัลซิไฟเออร์ประเภทสารพอลิเมอร์ชีวภาพ อิมัลซิไฟเออร์ที่มีค่าสมดุลความขบ้น้ำและขบ้น้ำมัน (Hydrophillic - Lipophillic Balance, HLB) ต่างๆ หรืออิมัลซิไฟเออร์ที่มีโครงสร้างส่วนหัวที่ขบ้น้ำขนาดต่างๆ ในบางกรณีอิมัลซิไฟเออร์ผสมเกิดอันตรกิริยาระหว่างโมเลกุลต่อกันก่อให้เกิดเป็นชั้นอิมัลซิไฟเออร์เชิงซ้อนที่ลดการเกิดออสวอลต์โรเฟนนิ่งได้ดี [28, 30-33]

Barradas และคณะ [34] ใช้อิมัลซิไฟเออร์ผสมระหว่างทวิน 20 และสแปน 20 ในสัดส่วน 1 : 3 โดยใช้สัดส่วนระหว่างน้ำมันและอิมัลซิไฟเออร์ที่เหมาะสม พบว่าป้องกันการเกิดออสวอลต์โรเฟนนิ่งและการรวมตัวของอนุภาคน้ำมันในอิมัลชันน้ำมันยี่ห่าตลอดระยะเวลาการเก็บ 3 เดือน การใช้อิมัลซิไฟเออร์ผสมระหว่างทวิน 20 และสแปน 80 ที่มีค่า HLB ต่างกัน คาดว่ามีผลช่วยลดค่าแรงตึงระหว่างผิวและเพิ่มความแข็งแรงและความต้านทานของชั้นอิมัลซิไฟเออร์จากการเกิดอันตรกิริยาระหว่างอิมัลซิไฟเออร์ที่มีความขบ้น้ำและขบ้น้ำมันที่ต่างกัน Guerra-Rosas และคณะ [35] ใช้ทวิน 80 ร่วมกับเพกทินที่มีเมทอคซิลสูงในการเตรียมนาโนอิมัลชัน พบว่าป้องกันการเกิดออสวอลต์โรเฟนนิ่งในนาโนอิมัลชันน้ำมันตะไคร้หอมและนาโน-

อิมัลชันน้ำมันแมนดารินตลอดระยะเวลาการเก็บ 56 วัน แต่ไม่สามารถป้องกันการเกิดออกซิดไรเซชันในนาโนอิมัลชันน้ำมันโอริกาโนและนาโนอิมัลชันน้ำมันใหม่ ทั้งนี้การยึดเกาะของเพกทินซึ่งมีประจุไฟฟ้าลบบนอนุภาคน้ำมันขึ้นอยู่กับชนิดของน้ำมันหอมระเหย

4.6 วิธีเลือกใช้อิมัลซิไฟเออร์ชนิดเมมเบรนหลายชั้น

นาโนอิมัลชันหอมระเหยเตรียมได้โดยใช้อิมัลซิไฟเออร์ชนิดเมมเบรนหลายชั้นโดยเคลือบอิมัลซิไฟเออร์ที่มีประจุไฟฟ้าด้วยชั้นสารพอลิเมอร์ชีวภาพประเภทโปรตีนหรือพอลิแซ็กคาไรด์ที่มีประจุไฟฟ้าตรงข้าม จำนวนชั้นสารพอลิเมอร์ชีวภาพอาจเพิ่มเป็นหลายชั้นโดยใช้สารพอลิเมอร์ชีวภาพชนิดต่างๆ ที่มีประจุไฟฟ้าตรงข้ามเคลือบซ้ำ ชั้นเมมเบรนหลายชั้นที่ห่อหุ้มรอบอนุภาคน้ำมันมีความหนาและแข็งแรงทำให้ด้านการหดและขยายขนาดของอนุภาคน้ำมัน [36] และลดการเคลื่อนที่ของน้ำมันระหว่างอนุภาคน้ำมัน [37] Ariyaprakai และ Qi [38] ใช้อิมัลซิไฟเออร์ซิเทรียม (Citrem) ซึ่งมีประจุไฟฟ้าลบเคลือบด้วยพอลิเมอร์ชีวภาพเจลาตินที่มีประจุไฟฟ้าบวกในการเตรียมอิมัลชันน้ำมันส้ม พบว่าอิมัลชันทุติยภูมิหรืออิมัลซิไฟเออร์ชนิดเมมเบรนหลายชั้นที่เตรียมได้มีความคงตัวต่อการเกิดออกซิดไรเซชันน้อยกว่าอิมัลชันปฐมภูมิที่ไม่ได้เคลือบด้วยชั้นเจลาติน

5. การประยุกต์ใช้นาโนอิมัลชันน้ำมันหอมระเหยในผลิตภัณฑ์ประเภทต่างๆ

นาโนอิมัลชันน้ำมันพืชตระกูลส้มนิยมนำมาใช้ในผลิตภัณฑ์เครื่องดื่มประเภทน้ำผลไม้เพื่อให้กลิ่นรสเข้มข้นตามธรรมชาติของผลไม้ ผลิตภัณฑ์เครื่องดื่มทั่วไปประกอบด้วยปริมาณน้ำมันหอมระเหย < 0.1 % [39, 40] นาโนอิมัลชันน้ำมันหอมระเหยนำมาใช้ในฟิล์มถนอมอาหาร โดยนำมาผสมในสารพอลิเมอร์ชีวภาพและขึ้นรูปเป็นแผ่นฟิล์ม การที่อนุภาคน้ำมันหอมระเหยมีขนาดเล็กระดับนาโนเมตรทำให้กระจายตัวในฟิล์มได้ดี สามารถผสมน้ำมันหอมระเหยได้ในปริมาณมากกว่าเมื่อไม่ได้อยู่ในรูปนาโนอิมัลชัน การมีส่วนผสมที่เป็นน้ำมันในฟิล์มทำให้ลดอัตราการระเหยของน้ำจากฟิล์มได้ เมื่อนำฟิล์มถนอมอาหารไปใช้ห่อหุ้มอาหารจำพวกผักและผลไม้ อาทิเช่น แอปเปิล ลูกพลัม ถั่ว แครอท ผักบร็อกโคลี ผักสลัด รวมทั้ง ใ้สกัด ผลิตภัณฑ์

ขนมอบ และชีส จึงช่วยป้องกันการระเหยของน้ำออกจากอาหาร นอกจากนี้ น้ำมันหอมระเหยมีคุณสมบัติเป็นสารต้านอนุมูลอิสระ มีกลิ่นหอม จึงเหมาะแก่การใช้กับฟิล์มถนอมอาหารแบบบิโบริโอดได้ [2,41] นาโนอิมัลชันน้ำมันหอมระเหยใช้ถนอมอาหารได้ โดยการพันเคลือบอาหารโดยตรง อาทิเช่น พันบนเนื้อสัตว์หรือเนื้อปลา หรือฉีดยาในไส้กรอกหรือในแตง หรือผสมโดยตรงในผลิตภัณฑ์ขนมหรือผลไม้ หรือผสมในผลิตภัณฑ์ล้างผักผลไม้ ในผลิตภัณฑ์ถนอมอาหารทั่วไปประกอบด้วยปริมาณน้ำมันหอมระเหยตั้งแต่ ~ 1 - 20 % ขึ้นอยู่กับประสิทธิภาพของน้ำมันหอมระเหยแต่ละชนิดในการต้านจุลชีพแต่ละประเภท และตามความเหมาะสมกับการประยุกต์ใช้ในการถนอมอาหารประเภทต่างๆ [2]

6. บทสรุปและข้อเสนอแนะ

ความไม่คงตัวของนาโนอิมัลชันน้ำมันหอมระเหยเกิดจากปรากฏการณ์ออกซิดไรเซชันเนื่องจากน้ำมันหอมระเหยมีสารองค์ประกอบเป็นสารโมเลกุลเล็กและละลายน้ำได้บางส่วน ปรากฏการณ์ออกซิดไรเซชันสามารถป้องกันได้โดยวิธีผสมน้ำมันไตรกลีเซอไรด์หรือผสมเอสเทอร์กัมที่ไม่ละลายน้ำกับน้ำมันหอมระเหยในสัดส่วนตั้งแต่ 5% ถึง 75% (ขึ้นอยู่กับชนิดของน้ำมันหอมระเหยและชนิดของอิมัลซิไฟเออร์ที่ใช้) วิธีนี้ประยุกต์ใช้ได้ง่ายเนื่องจากน้ำมันไตรกลีเซอไรด์หาได้ทั่วไป นอกจากนี้ปรากฏการณ์ออกซิดไรเซชันสามารถทำให้เกิดในอัตราที่ช้าลงได้โดยวิธีการเลือกใช้อิมัลซิไฟเออร์ที่เหมาะสม อาทิเช่น อิมัลซิไฟเออร์ชนิดโครงสร้างโมเลกุลขนาดใหญ่ อิมัลซิไฟเออร์ชนิดมีโครงสร้างส่วนหัวที่ชอบน้ำขนาดเล็ก อิมัลซิไฟเออร์ชนิดผสม และอิมัลซิไฟเออร์ชนิดเมมเบรนหลายชั้น ทั้งนี้ในการเลือกใช้อิมัลซิไฟเออร์ต้องคำนึงถึงชนิดของน้ำมันหอมระเหยที่ใช้ด้วย เพราะอัตราการเกิดออกซิดไรเซชันขึ้นอยู่กับทั้งโครงสร้างของสารองค์ประกอบในน้ำมันหอมระเหยและโครงสร้างของสารอิมัลซิไฟเออร์

ปกติแล้วนาโนอิมัลชันเริ่มต้นประกอบด้วยอนุภาคน้ำมันขนาดเล็ก จึงมีความคงตัวต่อการแยกชั้นครีมได้ดี แต่เมื่อเกิดปรากฏการณ์ออกซิดไรเซชันในนาโนอิมัลชันน้ำมันหอมระเหยจะทำให้ขนาดอนุภาคน้ำมันเฉลี่ยเพิ่มขึ้นตามเวลา ส่งผลให้อิมัลชันเกิดการแยกชั้นครีมเร็วขึ้น และกลไกการสลายตัวอิมัลชันอื่นๆ ได้แก่ การเกาะกลุ่มกันของอนุภาคน้ำมัน และ

การรวมตัวกันของอนุภาคน้ำมันมีโอกาสเกิดมากขึ้นตามมา ดังนั้นปรากฏการณ์ออสวอลล์โรเฟนนิ่งจึงจัดว่าเป็นกลไกหลักที่นำไปสู่การสลายตัวของนาโนอิมัลชันน้ำมันหอมระเหย [15] การป้องกันหรือลดอัตราการเกิดออสวอลล์โรเฟนนิ่งในนาโนอิมัลชันน้ำมันหอมระเหยจึงมีความสำคัญ

ประเทศไทยเป็นประเทศในเขตร้อนมีพืชหลากหลายชนิดที่ผลิตน้ำมันหอมระเหย ทำให้สามารถพัฒนาผลิตภัณฑ์นาโนอิมัลชันน้ำมันหอมระเหยที่มีกลิ่นหอมต่างๆ ได้หลากหลาย จึงเสนอให้มีการทำวิจัยต่อยอดโดยนำวิธีป้องกันและลดปรากฏการณ์ออสวอลล์โรเฟนนิ่งที่เสนอแนะในบทความนี้ไปพัฒนาผลิตภัณฑ์อาหาร เครื่องดื่ม ผลิตภัณฑ์นมอาหาร และผลิตภัณฑ์ล้างผักผลไม้ เพื่อให้ได้ผลิตภัณฑ์ที่มีความคงตัวอิมัลชันสูง มีคุณภาพที่ดีขึ้น และมีอายุการเก็บได้นานขึ้น อนุภาคน้ำมันหอมระเหยคงขนาดเล็กระดับนาโนเมตรเป็นระยะเวลาสั้น และอนุภาคน้ำมันมีการกระจายตัวได้ดีในวัฏภาคน้ำ ทั้งนี้อาจนำน้ำมันหอมระเหยที่สกัดได้จากพืชหลากหลายชนิดในประเทศไทยมาพัฒนาเป็นผลิตภัณฑ์ที่มีกลิ่นหอมหรือกลิ่นรสใหม่ได้ต่อไป

7. เอกสารอ้างอิง

1. Asbahani, A.E., Miladi, K., Badri, W., Sala, M., Addi, E.H.A., Casabianca, H., Mousadik, A.E., Hartmann, D., Jilale, A., Renaud, F.N.R. and Elaissari, A., 2015, "Essential Oils: From Extraction to Encapsulation," *International Journal of Pharmaceutics*, 483 (1–2), pp. 220-243.
2. Donsi, F. and Ferrari, G., 2016, "Essential Oil Nanoemulsions as Antimicrobial Agents in Food," *Journal of Biotechnology*, 233, pp. 106-120.
3. McClements, D.J. and Rao, J., 2011, "Food-Grade Nanoemulsions: Formulation, Fabrication, Properties, Performance, Biological Fate, and Potential Toxicity," *Critical Reviews in Food Science and Nutrition*, 51 (4), pp. 285-330.
4. Ariyaprakai, S., 2017, "Nanoemulsion Production by Simple and Low Energy Method," *Food and Applied Bioscience Journal*, 5 (3), pp. 155-164.
5. Acedo-Carrillo, J.I., Rosas-Durazo, A., Herrera-Urbina, R., Rinaudo, M., Goycoolea, F.M. and Valdez, M.A., 2006, "Zeta Potential and Drop Growth of Oil in Water Emulsions Stabilized with Mesquite Gum," *Carbohydrate Polymers*, 65 (3), pp. 327-336.
6. Henry, J.V.L., Fryer, P.J., Frith, W.J. and Norton, I.T., 2010, "The Influence of Phospholipids and Food Proteins on the Size and Stability of Model Sub-micron Emulsions," *Food Hydrocolloids*, 24 (1), pp. 66-71.
7. Georgieva, D., Schmitt, V., Leal-Calderon, F. and Langevin, D., 2009, "On the Possible Role of Surface Elasticity in Emulsion Stability," *Langmuir*, 25 (10), pp. 5565-5573.
8. Meinders, M.B.J. and van Vliet, T., 2004, "The Role of Interfacial Rheological Properties On Ostwald Ripening in Emulsions," *Advances in Colloid and Interface Science*, 108–109, pp. 119-126.
9. Meinders, M.B.J., Kloek, W. and van Vliet, T., 2001, "Effect of Surface Elasticity on Ostwald Ripening in Emulsions," *Langmuir*, 17 (13), pp. 3923-3929.
10. Chang, Y., McLandsborough, L. and McClements, D.J., 2015, "Fabrication, Stability and Efficacy of Dual-Component Antimicrobial Nanoemulsions: Essential Oil (Thyme Oil) and Cationic Surfactant (Lauroic Arginate)," *Food Chemistry*, 172, pp. 298-304.
11. Li, W., Chen, H., He, Z., Han, C., Liu, S. and Li, Y., 2015, "Influence of Surfactant and Oil Composition on the Stability and Antibacterial Activity of Eugenol Nanoemulsions," *LWT - Food Science and Technology*, 62 (1, Part 1), pp. 39-47.
12. Chang, Y., McLandsborough, L. and McClements, D.J., 2012, "Physical Properties and Antimicrobial Efficacy of Thyme Oil Nanoemulsions: Influence of Ripening Inhibitors," *Journal of Agricultural and Food Chemistry*, 60 (48), pp. 12056-63.
13. Ziani, K., Chang, Y., McLandsborough, L. and McClements, D.J., 2011, "Influence of Surfactant Charge on Antimicrobial Efficacy of Surfactant-stabilized Thyme

Oil Nanoemulsions," *Journal of Agricultural and Food Chemistry*, 59 (11), pp. 6247-55.

14. Wu, J.-E., Lin, J. and Zhong, Q., 2014, "Physical and Antimicrobial Characteristics of Thyme Oil Emulsified with Soluble Soybean Polysaccharide," *Food Hydrocolloids*, 39, pp. 144-150.

15. Tadros, T., Izquierdo, P., Esquena, J. and Solans, C., 2004, "Formation and Stability of Nano-emulsions," *Advances in Colloid and Interface Science*, 108-109, pp. 303-318.

16. Solans, C., Izquierdo, P., Nolla, J., Azemar, N. and Garcia-Celma, M.J., 2005, "Nano-emulsions," *Current Opinion in Colloid and Interface Science*, 10 (3-4), pp. 102-110.

17. Lifshitz, I.M. and Slyozov, V.V., 1961, "The Kinetics of Precipitation from Supersaturated Solid Solutions," *Journal of Physics and Chemistry of Solids*, 19 (1), pp. 35-50.

18. Wagner, C., 1961, "Theorie der Alterung von Niederschlägen durch Umlösen (Ostwald-Reifung)," *Zeitschrift für Elektrochemie, Berichte der Bunsengesellschaft für physikalische Chemie*, 65 (7-8), pp. 581-591.

19. De Smet, Y., Danino, D., Deriemaeker, L., Talmon, Y. and Finsy, R., 2000, "Ostwald Ripening in the Transient Regime: A Cryo-TEM Study," *Langmuir*, 16 (3), pp. 961-967.

20. Wooster, T.J., Golding, M. and Sanguansri, P., 2008, "Impact of Oil Type on Nanoemulsion Formation and Ostwald Ripening Stability," *Langmuir*, 24 (22), pp. 12758-12765.

21. Ariyaprakai, S. and Dungan, S.R., 2010, "Influence of Surfactant Structure on the Contribution of Micelles to Ostwald Ripening in Oil-in-water Emulsions," *Journal of Colloid and Interface Science*, 343 (1), pp. 102-108.

22. De Smet, Y., Deriemaeker, L., and Finsy, R.,

1999, "Ostwald Ripening of Alkane Emulsions in the Presence of Surfactant Micelles," *Langmuir*, 15 (20), pp. 6745-6754.

23. Djerdjev, A.M. and Beattie, J.K., 2008, "Enhancement of Ostwald Ripening by Depletion Flocculation," *Langmuir*, 24 (15), pp. 7711-7717.

24. Weiss, J., Canceliere, C. and McClements, D.J., 2000, "Mass Transport Phenomena in Oil-in-Water Emulsions Containing Surfactant Micelles: Ostwald Ripening," *Langmuir*, 16 (17), pp. 6833-6838.

25. Nguyen Hoang, T.K., La, V.B., Deriemaeker, L. and Finsy, R., 2002, "Ostwald Ripening of Alkane in Water Emulsions Stabilized by Polyoxyethylene (20) Sorbitan Monolaurate," *Langmuir*, 18 (5), pp. 1485-1489.

26. Henry, J.V.L., Fryer, P.J., Frith, W.J. and Norton, I.T., 2009, "Emulsification Mechanism and Storage Instabilities of Hydrocarbon-in-water Sub-micron Emulsions Stabilised with Tweens (20 and 80), Brij 96v and Sucrose Monoesters," *Journal of Colloid and Interface Science*, 338 (1), pp. 201-206.

27. Han, S.W., Song, H.Y., Moon, T.W. and Choi, S.J., 2018, "Influence of Emulsion Interfacial Membrane Characteristics on Ostwald Ripening in a Model Emulsion," *Food Chemistry*, 242, pp. 91-97.

28. Delmas, T., Piraux, H., Couffin, A.-C., Texier, I., Vinet, F., Poulin, P., Cates, M.E. and Bibette, J., 2011, "How To Prepare and Stabilize Very Small Nanoemulsions," *Langmuir*, 27 (5), pp. 1683-1692.

29. Lim, S.S., Baik, M.Y., Decker, E.A., Henson, L., Michael Popplewell, L., McClements, D.J. and Choi, S.J., 2011, "Stabilization of Orange Oil-in-water Emulsions: A New Role for Ester Gum as an Ostwald Ripening Inhibitor," *Food Chemistry*, 128 (4), pp. 1023-1028.

30. McClements, D.J. and Jafari, S.M., 2018, "Improving Emulsion Formation, Stability and Perfor-

mance Using Mixed Emulsifiers: A Review," *Advances in Colloid and Interface Science*, 251, pp. 55-79.

31. Galindo-Alvarez, J., Le, K.-A., Sadtler, V., Marchal, P., Perrin, P., Tribet, C., Marie, E. and Durand, A., 2011, "Enhanced Stability of Nanoemulsions Using Mixtures of Non-ionic Surfactant and Amphiphilic Polyelectrolyte," *Colloids and Surfaces A: Physicochemical and Engineering Aspects*, 389 (1), pp. 237-245.

32. Chebil, A., Desbrières, J., Nouvel, C., Six, J.L. and Durand, A., 2013, "Ostwald Ripening of Nanoemulsions Stopped by Combined Interfacial Adsorptions of Molecular and Macromolecular Nonionic Stabilizers," *Colloids and Surfaces A: Physicochemical and Engineering Aspects*, 425, pp. 24-30.

33. Xin, X., Zhang, H., Xu, G., Tan, Y., Zhang, J. and Lv, X., 2013, "Influence of CTAB and SDS on the Properties of Oil-in-water Nano-emulsion with Paraffin and Span 20/Tween 20," *Colloids and Surfaces A: Physicochemical and Engineering Aspects*, 418, pp. 60-67.

34. Barradas, T.N., de Campos, V.E.B., Senna, J.P., Coutinho, C.d.S.C., Tebaldi, B.S., Silva, K.G.d.H.e. and Mansur, C.R.E., 2015, "Development and Characterization of Promising O/W Nanoemulsions Containing Sweet Fennel Essential Oil and Non-ionic Sufactants," *Colloids and Surfaces A: Physicochemical and Engineering Aspects*, 480, pp. 214-221.

35. Guerra-Rosas, M.I., Morales-Castro, J., Ochoa-Martínez, L.A., Salvia-Trujillo, L. and Martín-Belloso,

O., 2016, "Long-term Stability of Food-grade Nanoemulsions from High Methoxyl Pectin Containing Essential Oils," *Food Hydrocolloids*, 52, pp. 438-446.

36. Mun, S. and McClements, D.J., 2006, "Influence of Interfacial Characteristics on Ostwald Ripening in Hydrocarbon Oil-in-Water Emulsions," *Langmuir*, 22 (4), pp. 1551-1554.

37. Zeeb, B., Gibis, M., Fischer, L. and Weiss, J., 2012, "Influence of Interfacial Properties on Ostwald Ripening in Crosslinked Multilayered Oil-in-water Emulsions," *Journal of Colloid and Interface Science*, 387 (1), pp. 65-73.

38. Ariyaprakai, S. and Qi, W.J., 2013, "Stability of Orange Oil-in-Water Emulsion Prepared by Multilayer Membranes," *KMUTT Research and Development Journal*, 36 (2), pp. 171-183.

39. Piorkowski, D.T. and McClements, D.J., 2014, "Beverage Emulsions: Recent Developments in Formulation, Production, and Applications," *Food Hydrocolloids*, 42 (Part 1), pp. 5-41.

40. Maswal, M. and Dar, A.A., 2014, "Formulation Challenges in Encapsulation and Delivery of Citral for Improved Food Quality," *Food Hydrocolloids*, 37, pp. 182-195.

41. Galus, S. and Kadzińska, J., 2015, "Food Applications of Emulsion-based Edible Films and Coatings," *Trends in Food Science and Technology*, 45 (2), pp. 273-283.